

1

АКАДЕМИЯ НАУК СССР  
СИБИРСКОЕ ОТДЕЛЕНИЕ  
ИНСТИТУТ ГЕОЛОГИИ И ГЕОФИЗИКИ

*Препринт № 18*

**В.Н. Доровский**

**ТЕРМОМЕХАНИЧЕСКАЯ  
НЕУСТОЙЧИВОСТЬ  
В СИСТЕМЕ  
ЛИТОСФЕРА-АСТЕНОСФЕРА**

**НОВОСИБИРСК 1986**

Доровский В.Н. Термомеханическая неустойчивость в системе литосфера-астеносфера. Новосибирск, 1986. 16с (Препринт № 18, ИГиГ СО АН СССР).

Рассматривается система "литосфера-астеносфера". Астеносфера представляется зоной частичного расплава. В приближении геометрической выделенности поверхности поглощения тепла изучается процесс необратимой передачи импульса от литосферы к астеносфере. Показано, что при значениях числа Пекле  $Pe \gg 1$  фронт поглощения тепла теряет устойчивость по отношению к возмущениям формы. Инкремент неустойчивости  $G$  как функция волнового вектора  $K$  волны возмущения имеет при  $K = K_*$  максимальное значение — зона поглощения импульса с необходимостью разбивается на локальные очаги поглощения тепла. Вычисляется размер диссипативной неоднородности и характерное время её формирования. Обсуждается возможность отождествления магматических камер с очагами поглощения тепла. В развитом подходе становится излишним представление о "горячих точках".

Работа представляет интерес для физиков, занимающихся исследованием диссипативных процессов в условиях гидродинамического течения; геофизиков, исследующих условия формирования магматических камер; геологов.

"Вулканическое тепло представляет собой только малую часть тепла, излучаемого Землёй... Настоящая проблема вулканизма заключается в том, чтобы определить те пути и способы, посредством которых довольно незначительные количества тепла могут быть сформированы в относительно небольших объёмах земной коры"/5, с.95/. Среди всего многообразия предложенных механизмов локализации тепловой энергии наибольшую трудность испытывают теории, связывающие динамику земной коры с процессами магмообразования, хотя очевидность такой постановки вопроса не вызывает сомнений. Трудности указанных теорий связаны с недостаточно полным представлением о динамических закономерностях, происходящих в коре Земли, верхней мантии, а также со слабой изученностью механизмов преобразования механической энергии сдвиговых крупномасштабных деформаций во внутреннюю энергию среды. Последние начали активно исследоваться с развитием представлений тектоники плит/9,10/. Можно сказать, что проблема взаимосвязи крупномасштабной динамики коры Земли и локализации тепловой энергии не нашла какого-либо отражения в известных геодинамических построениях. Экспериментальное указание на наличие зон тепловой неоднородности можно найти в известной работе А.С.Алексеева и др./ 1 /.

Исходной посылкой многих теорий в разрешении поставленной проблемы является известная гидродинамическая неустойчивость Релея-Тейлора (см. например/ 8 /), одна из редакций которой констатирует неустойчивость лёгкого плоского слоя, находящегося под более тяжёлым. Исследуя линейную стадию неустойчивости по возмущениям к одномерному стационарному положению слоёв, устанавливают, что инкремент  $G$  как функция волнового вектора  $K$  волны возмущения положителен и принимает максимальное значение при  $K = K_*$ . Указанное обстоятельство позволяет выделить моду  $K_*$  с длиной волны  $\lambda_* = 2\pi k_*/K_*$  (где  $k_*$  - характерный размер системы) из спектра начальных возмущений, имеющую минимальное время развития, т.е. минимальное время выхода на экспоненциальную по времени асимптотику и говорить о характерном размере  $\lambda_*$  в рассматриваемой задаче. Исследованная таким образом неустойчивость Релея-Тейлора породила представление о диапирах/ 8 /. Используя развитый аппарат линейной теории неустойчивости и принятую интерпретацию по-

лучаемых результатов "на языке инкремента", можно, в качестве первого приближения, развить альтернативный подход к проблеме локализации тепла в верхней мантии, исходя из общепринятых геодинамических представлений. С гидродинамической точки зрения, в настоящей работе исследуется новая, насколько известно автору, неустойчивость, впервые описанная в работе / 2 /.

Современный взгляд на астеносферу приписывает последней несколько пониженную вязкость ( $\sim 10^{19}$  П) относительно литосферы, в остальном допуская свободу толкований. Не внося каких-либо противоречий в общепринятый взгляд, отождествим астеносферу с зоной частичного расплава, приписывая ему вязкость астеносферы и достаточно малое для этого содержание полностью расплавленной среды. За рассматриваемые в работе характерные температуропроводные времена  $\tau_x = h_*^2 / \chi_i$  деформации сдвига не приводят к значительному увеличению объёма магмы (необходимые оценки можно найти в работе / 4 /) гарантируя, однако, неумножение её изначально возникшего в процессе трения объёма. Достаточно малый размер "твёрдотельных частиц", входящих в частичный расплав, гарантирует выравнивание температуры на их размере за времена  $\tau_0 = h_0^2 / \chi_i$ , где  $h_0$  - размер "частицы",  $\chi_i$  - температуропроводность. Это позволяет на размере "жидкая прослойка - твёрдая частица" не различать температуры и в силу локального фазового равновесия считать её постоянной, управляемой лишь крупномасштабными механизмами переноса. Опуская из рассмотрения кинетику процесса формирования астеносферы в переходном слое к литосфере, в предположении, что процесс формирования астеносферы происходит самоогласованно с движением литосферы, изучим возможные термомеханические свойства такой системы. Следующая задача описывает процесс термомеханического взаимодействия литосферы с астеносферой:

$$\frac{\partial \vartheta_x^{(0)}}{\partial t} = - \frac{\lambda}{\rho} \cdot \frac{\partial \rho}{\partial x} + \frac{\eta}{\rho} \cdot \frac{\partial^2 \vartheta_x^{(0)}}{\partial y^2}, \quad (1)$$

$$\frac{\partial T_i^{(0)}}{\partial t} = \chi_i \cdot \frac{\partial^2 T_i^{(0)}}{\partial y^2} + \frac{\eta}{\rho c_i} \cdot \left( \frac{\partial \vartheta_x^{(0)}}{\partial y} \right)^2, \quad 0 \leq y \leq h, \quad (2)$$

$$\frac{\partial T_e^{(0)}}{\partial t} = \chi_e \cdot \frac{\partial^2 T_e^{(0)}}{\partial y^2}, \quad h \leq y \leq h_*, \quad (3)$$

$$-\alpha_i \cdot \frac{\partial T_i^{(0)}}{\partial y} \Big|_h + \alpha_e \cdot \frac{\partial T_e^{(0)}}{\partial y} \Big|_h = \rho \eta \frac{dh}{dt}, \quad (4)$$

$$T_i^{(0)} \Big|_h = T_e^{(0)} \Big|_h = T_0, \quad T_e^{(0)} \Big|_{h_*} = T_*, \quad \frac{\partial T_i^{(0)}}{\partial y} \Big|_0 = -R,$$

$$v_x^{(0)} \Big|_0 = 0, \quad v_x^{(0)} \Big|_h = v_0^*,$$

$$v_x^{(0)}(y, t=0) = \psi(y), \quad T_i^{(0)}(y, t=0) = \varphi_i(y), \quad T_e^{(0)}(y, t=0) = \varphi_e(y).$$

Система уравнений (1)–(3) с соответствующими граничными и начальными условиями требует пояснений. На рис.1, иллюстрирующем геометрию задачи, среда "ext" ( $h \leq y \leq h_*$ )–движущаяся с постоянной скоростью  $v_0^*$  литосфера, передающая импульс вязкой астеносфере (среда "ic"). Необратимый перенос импульса в зоне частичного расплава  $0 \leq y \leq h$  описывается уравнением Навье–Стокса (1), определяющим объёмный источник тепла в уравнении теплопроводности (2). Считаем, что выделяющееся в астеносфере тепло и постоянно присутствующая сдвиговая деформация–основные причины возникновения и формирования астеносферы. Температуры  $T_i^{(0)}$ ,  $T_e^{(0)}$  соответствующих сред определяют эволюцию фронта  $y = h(t)$ . Граничные условия реализуют изложенную точку зрения в максимально общем виде. Формально система уравнений (1)–(3) описывает в приближении задачи Стефана формирование одномерной зоны расплава. Следует, однако, подчеркнуть, что эта связь носит чисто формальный характер, так как речь идёт о вязкостях  $\sim 10^{19}$ П.

В принятой системе уравнений введены обозначения  $C_p^i$ ,  $C_p^e$ –теплоёмкости,  $\chi_i$ ,  $\chi_e$ –температуропроводности,  $\alpha^i$ ,  $\alpha^e$ –теплопроводности рассматриваемых сред,  $\rho$ –плотность,  $\eta$ –вязкость,  $T_*$ –температура открытой поверхности  $y = h_*$ . Заметим, что условия на нижней границе  $y = 0$  для эффектов, рассматриваемых в настоящей работе, не являются принципиальными, являются модельными и не ограничивают физической общности полученного в работе результата. Теплоту поглощения  $q$  примем пропорциональной доли чистого расплава в единице объёма среды, представляющей частичный расплав.

Измеряя координату  $y = \xi \cdot h_*$  в единицах  $h_*$ , время  $t = \tau \cdot \tau_x$  в единицах характерного температуропроводного времени  $\tau_x = h_*^2 / \chi_i$  и вводя безразмерные температуры  $T_{i,e}^{(0)} = T_0 + q \theta_{i,e}^{(0)} / C_p^{i,e}$ , представим систему уравнений (1)–(3) совместно с граничными условиями в

виде

$$\frac{1}{R_e} \frac{\partial v^{(0)}}{\partial \tau} = -\alpha + \frac{\partial^2 v^{(0)}}{\partial \bar{z}^2},$$

$$\frac{\partial \theta_i^{(0)}}{\partial \tau} = \frac{\partial^2 \theta_i^{(0)}}{\partial \bar{z}^2} + G \left( \frac{\partial v^{(0)}}{\partial \bar{z}^2} \right)^2, \quad 0 \leq \bar{z} \leq \bar{z}_0,$$

$$\frac{\partial \theta_e^{(0)}}{\partial \tau} = \frac{\chi_e}{\chi_i} \cdot \frac{\partial^2 \theta_e^{(0)}}{\partial \bar{z}^2}, \quad \bar{z}_0 \leq \bar{z} \leq 1,$$

$$-\frac{\partial \theta_i^{(0)}}{\partial \bar{z}} \Big|_{\bar{z}_0} + \frac{\chi_e}{\chi_i} \cdot \frac{\partial \theta_e^{(0)}}{\partial \bar{z}} \Big|_{\bar{z}_0} = \frac{d\bar{z}_0}{d\tau}, \quad \bar{z}_0 = \frac{h(\tau)}{h_*},$$

$$\frac{\partial \theta_i^{(0)}}{\partial \bar{z}} \Big|_0 = -\tau, \quad \theta_i^{(0)} \Big|_{\bar{z}_0} = \theta_e^{(0)} \Big|_{\bar{z}_0} = 0, \quad \theta_e^{(0)} \Big|_1 = -\frac{C_p^e}{9} \cdot (\bar{T}_0 - \bar{T}_*),$$

$$v^{(0)} \Big|_0 = 0, \quad v^{(0)} \Big|_{\bar{z}_0} = 1.$$

Здесь  $\alpha = h_*^2 \frac{\partial \rho}{\partial x} / \eta v_0^*$  — заданная величина, характеризующая отношение двух скоростей,  $R_e = \eta / \rho \chi_i$  — число Прандтля,  $G = h_* v_0^2 / q$  — параметр, определяющий скорость ввода энергии в систему,  $\tau = R / h_* C_p^i q^* > 0$  —

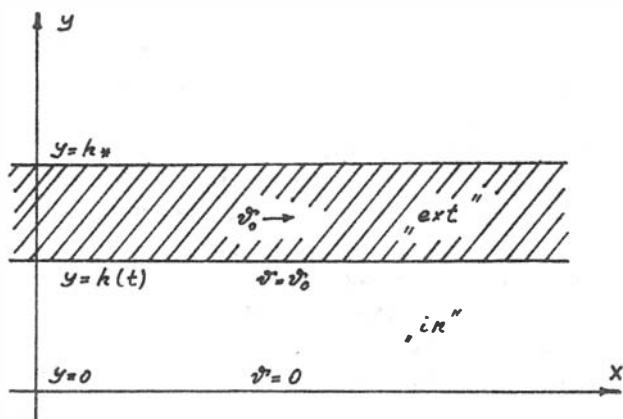


Рис.1. Иллюстрация геометрии задачи

-безразмерный тепловой поток, внешний по отношению к рассматриваемой системе. Начальные распределения температур и скорости опущены из рассмотрения. Функции

$$\vartheta^{(0)}(\bar{x}) = \frac{\bar{x}}{\bar{x}_0} \cdot \left[ 1 + \frac{\Delta \bar{T}_0^2}{2} \left( \frac{\bar{x}}{\bar{x}_0} - 1 \right) \right],$$

$$\theta_i^{(0)}(\bar{x}) = \frac{\sigma}{12 \Delta^2} \cdot \left[ (\Delta \bar{x}_0 + C)^4 - (\Delta \bar{x} + C)^4 \right] + \sigma (\bar{x} - \bar{x}_0) \left( \frac{C^3}{3 \Delta} - \frac{\nu}{\sigma} \right), \quad (7)$$

$$\theta_e^{(0)}(\bar{x}) = \frac{C_0 e}{\gamma} \cdot \frac{\bar{T}_0 - \bar{T}_*}{1 - \bar{x}_0} \cdot (\bar{x}_0 - \bar{x}), \quad C = \frac{1}{\bar{x}_0} \left( 1 - \frac{\Delta \bar{x}_0^2}{2} \right)$$

представляют стационарное решение задачи (5), (6). Безразмерная координата  $\bar{x}_0 = 1 - \tilde{x}$  стационарного положения фронта раздела сред определяется из трансцендентного уравнения

$$\frac{12}{\Delta^2} = \frac{\tilde{x} \cdot (1 - \tilde{x})^4}{(1 - \tilde{x}) \alpha_* - \tilde{x} - \tilde{x} \cdot (1 - \tilde{x}) \beta_0} = F(\tilde{x}), \quad (8)$$

где  $\alpha_* = (\bar{T}_0 - \bar{T}_*) \frac{e}{\gamma \nu_0^2}$ ,  $\beta_0 = \nu / \sigma$ . На рис. 2 графически изображаются корни уравнения (8) как абсциссы пересечения функции  $F(\tilde{x})$  с:

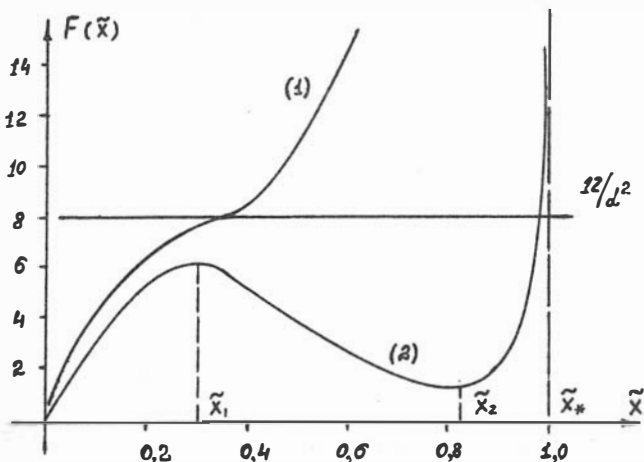


Рис. 2. Графическое нахождение корней уравнения (8). Кривая (1) соответствует случаю  $\alpha_* \leq 16/\sigma$ , кривая (2) - случаю  $\alpha_* > 16/\sigma$ . График функции  $F(\tilde{x})$  приведен для значения  $\beta_0 = 0$

постоянной  $12/\alpha^2$ . Функция  $F(\tilde{x})$  при  $\tilde{x} \rightarrow \tilde{x}_* = \frac{1+\rho_0+Q_*}{2\rho_0} \left[ 1 - \sqrt{1 - \frac{4\rho_0 Q_*}{(1+\rho_0+Q_*)^2}} \right]$  ( $\tilde{x}_* \leq 1$ ) асимптотически стремится к бесконечности. При  $\rho_0 \neq 0$  имеем  $\tilde{x}_* > Q_*/(1+Q_*)$ . В случае  $\rho_0 = 0$  функция  $F(\tilde{x})$  при  $Q_* > 16/9$  имеет два экстремума, монотонно возрастающая при  $x \rightarrow \tilde{x}_*$ . При  $Q_* \leq 16/9$  кривая  $F(\tilde{x})$  монотонно возрастает во всей области  $[0, \tilde{x}_*]$ . Область значений  $\tilde{x}_1 \leq \tilde{x} \leq \tilde{x}_2$  не соответствует каким-либо физическим ситуациям, так как решение (7), определяемое значениями  $\tilde{x}$  из интервала  $[\tilde{x}_1, \tilde{x}_2]$  неустойчиво относительно бесконечно малых возмущений стационарных состояний, не нарушающих одномерности рассматриваемой задачи / 2 /. При  $\rho_0 = 0$  качественного поведения функция  $F$  в области  $[0, \tilde{x}_*]$  не меняет. Изменяются лишь численные выражения для значений  $\tilde{x}_1$ ,  $\tilde{x}_2$  и  $\tilde{x}_*$ .

Исследование вопроса о пространственной неустойчивости фронта, разделяющего литосферу и астеносферу, требует обобщения на трёхмерный случай системы уравнений (1)-(4), описывающих необратимый перенос импульса в астеносфере. Пусть  $S$  - пространственная поверхность, разделяющая среды в трёхмерном случае (рис.3). Следуя / 4 /, представим систему уравнений для несжимаемой жидкости в области:

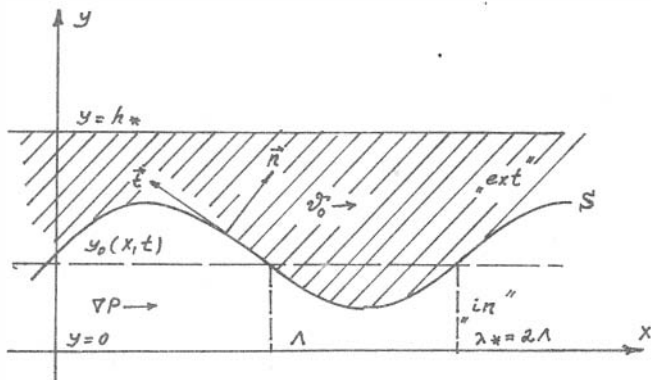


Рис.3. Иллюстрация двумерной геометрии задачи

а) астеносферы, ограниченной поверхностью  $S$  и плоскостью  $y = 0$

$$\frac{\partial \vec{H}}{\partial t} = \text{rot} [\vec{v}, \vec{H}] + \frac{\eta}{\rho} \cdot \Delta \vec{H},$$



$$\vec{H} = \varepsilon_0 t \vec{v} \quad , \quad \text{div } \vec{v} = 0 \quad ,$$

$$\frac{\partial \bar{T}_i}{\partial t} + (\vec{v}, \nabla \bar{T}_i) = \chi_i \cdot \Delta \bar{T}_i + \frac{\eta}{2\rho c_p} \cdot (\partial_i v_k + \partial_k v_i)^2 \quad , \quad (9)$$

$$\frac{\partial \bar{T}_i}{\partial y} \Big|_0 = -R \quad , \quad v_x \Big|_0 = v_y \Big|_0 = 0 \quad ,$$

б) литосферы, ограниченной плоскостью  $y = h_*$  и поверхностью  $S$

$$\frac{\partial T_e}{\partial t} + (\vec{v}^{(0)}, \nabla T_e) = \chi_e \cdot \Delta T_e \quad ,$$

$$T_e / h_* = \bar{T}_* \quad ,$$

$$\vec{v}^{(0)} = (v_0, 0) \quad .$$

(10)

На эволюционирующей в пространстве поверхности  $S(t)$  выполняются условия изотермичности, обращения в ноль нормальной и касательной скоростей (в системе координат, движущейся совместно с литосферой), условие теплового баланса

$$T_i / S = T_e / S = T_0 \quad ,$$

$$(\vec{n}, \vec{v} - \vec{v}_0) / S = (\vec{t}, \vec{v} - \vec{v}_0) / S = 0 \quad , \quad (11)$$

$$-\alpha_i \cdot (\vec{n}, \nabla \bar{T}_i) / S + \alpha_e \cdot (\vec{n}, \nabla T_e) / S = (\vec{n}, \vec{V}) \cdot \rho q \quad ,$$

где  $\vec{V} = -\vec{v}^{(0)} + \vec{n} \gamma \frac{\partial y_0}{\partial t}$  — скорость движения фронта раздела / 7 / ,  $y_0(x, z, t)$  — зависимость, определяющая эволюцию фронта,  $\vec{n}$  — внешняя по отношению к поверхности  $S$  нормаль

$$\vec{n} = \left( -\sigma \frac{\partial y_0}{\partial x} \quad , \quad 1 \quad , \quad -\sigma \frac{\partial y_0}{\partial z} \right) \quad , \quad \sigma = 1 / \sqrt{1 + \left( \frac{\partial y_0}{\partial x} \right)^2 + \left( \frac{\partial y_0}{\partial z} \right)^2} \quad ,$$

$\vec{t}$  — касательный единичный вектор к поверхности. Решение системы уравнений (9)–(11) ищем в виде

$$H_x(x, y, z, t) = H_y(x, y, z, t) = 0 \quad , \quad H_z = H_z(x, y, t) \quad ,$$

$$v_x = v_x(x, y, t) \quad , \quad v_y = v_y(x, y, t) \quad , \quad (12)$$

$$T_i = T_i(x, y, t), \quad T_e = T_e(x, y, t), \quad y_0 = y_0(x, t).$$

Используя условие (12), приходим к системе дифференциальных уравнений в частных производных и граничных условий:

а) для области  $0 \leq y \leq y_0$

$$\frac{\partial H_z}{\partial t} + v_x^* \frac{\partial H_z}{\partial x} + v_y^* \frac{\partial H_z}{\partial y} = \frac{\gamma}{\rho} \left( \frac{\partial^2 H_z}{\partial x^2} + \frac{\partial^2 H_z}{\partial y^2} \right),$$

$$\frac{\partial v_x^*}{\partial x} + \frac{\partial v_y^*}{\partial y} = 0,$$

$$\frac{\partial v_x^*}{\partial x} - \frac{\partial v_y^*}{\partial y} = H_z,$$

(13)

$$\frac{\partial \bar{T}_i}{\partial t} + v_x^* \frac{\partial \bar{T}_i}{\partial x} + v_y^* \frac{\partial \bar{T}_i}{\partial y} = \chi_i \left( \frac{\partial^2 \bar{T}_i}{\partial x^2} + \frac{\partial^2 \bar{T}_i}{\partial y^2} \right) + \frac{\gamma}{\rho c_p^i} \left[ 2 \left( \frac{\partial v_x^*}{\partial x} \right)^2 + 2 \left( \frac{\partial v_y^*}{\partial y} \right)^2 + \left( \frac{\partial v_x^*}{\partial y} + \frac{\partial v_y^*}{\partial x} \right)^2 \right],$$

$$\frac{\partial \bar{T}_i}{\partial y} \Big|_0 = -R, \quad v_x^* \Big|_{y=0} = 0, \quad v_y^* \Big|_{y=0} = 0,$$

б) для области  $y_0 \leq y \leq h_*$

$$\frac{\partial T_e}{\partial t} + v_0^* \frac{\partial T_e}{\partial x} = \chi_e \left( \frac{\partial^2 T_e}{\partial x^2} + \frac{\partial^2 T_e}{\partial y^2} \right)$$

$$T_e \Big|_{h_*} = \bar{T}_*$$

в) на границе  $y_0 = y_0(x, t)$

$$\bar{T}_i \Big|_{y_0} = T_e \Big|_{y_0} = \bar{T}_0,$$

$$n_x \cdot (v_x^* - v_0^*) + n_y v_y^* = t_x \cdot (v_x^* - v_0^*) + t_y v_y^* = 0,$$

$$-x^i \cdot \left( n_x \frac{\partial \bar{T}_i}{\partial x} + n_y \frac{\partial \bar{T}_i}{\partial y} \right) + x^e \cdot \left( n_x \frac{\partial T_e}{\partial x} + n_y \frac{\partial T_e}{\partial y} \right) = \rho q \left[ -n_x v_0^* + \gamma \frac{\partial y_0}{\partial t} \right].$$

Здесь  $\vec{t} = (t_x, t_y) = (\gamma, \gamma \frac{\partial y_0}{\partial x})$ . Система уравнений (13) исключает из рассмотрения зависимость от координаты  $\bar{z}$ . Обсуждение эффектов зависимости от  $\bar{z}$  предмет отдельной работы. Выделим в явном виде малые возмущения к функциям (7), описывающим стационарное состояние системы, в безразмерном виде

$$\bar{T}_i = \bar{T}_i^{(0)}(y) + q \sigma \bar{T}_0 f_0 \cdot \mathcal{Q} / c_p^i,$$

$$\bar{T}_e = \bar{T}_e^{(0)} + q \sigma \bar{T}_0 f_0 \chi_i \cdot W / (c_p \cdot \chi_e),$$

$$\bar{v}_x = \bar{v}_x^{(0)} - \bar{v}_0 \bar{T}_0 f_0 \cdot \partial \bar{T} \partial,$$

$$\bar{v}_y = \bar{T}_0 f_0 \cdot \partial \bar{T} \partial,$$

$$y_0(x, t) = h_0 + h_0 \cdot f(\varphi, t),$$

$$\chi_i^{(0)} = - \frac{\partial \bar{v}_x^{(0)}}{\partial y}$$

и, произведя линеаризацию системы уравнений (13), приходим к уравнениям, описывающим эволюцию произвольных бесконечно малых возмущений в момент времени  $t = 0$  возмущений температуры, скорости и фронта в "тепловой части" задачи

$$\frac{\partial \Omega}{\partial t} + Pe (\bar{v}_x^{(0)} - 1) \frac{\partial \Omega}{\partial \zeta} + v_0 \frac{\partial}{\partial \bar{T}} \left( \frac{\theta_i^{(0)}}{\sigma} \right) \cdot \frac{\partial \Omega}{\partial \zeta} = \frac{\partial^2 \Omega}{\partial \zeta^2} + \frac{\partial^2 \Omega}{\partial \bar{T}^2} + 2 \frac{\partial \bar{v}_x^{(0)}}{\partial \bar{T}} \left( \frac{\partial^2 \Omega}{\partial \zeta^2} - \frac{\partial^2 \Omega}{\partial \bar{T}^2} \right),$$

$$\frac{\partial W}{\partial t} = \frac{\chi_e}{\chi_i} \left( \frac{\partial^2 W}{\partial \bar{T}^2} + \frac{\partial^2 W}{\partial \zeta^2} \right),$$

$$- \frac{\partial \Omega}{\partial \bar{T}} \Big|_{\bar{T}_0} + \frac{\partial W}{\partial \bar{T}} \Big|_{\bar{T}_0} = \frac{1}{\sigma} \frac{\partial}{\partial \zeta} \left( \frac{f}{f_0} \right) + \frac{\partial^2 \theta_i^{(0)}}{\partial \bar{T}^2} \Big|_{\bar{T}_0} \cdot \frac{f}{f_0}, \quad (14)$$

$$\frac{\partial \Omega}{\partial \bar{T}} \Big|_0 = 0, \quad \Omega \Big|_{\bar{T}_0} = - \frac{\partial}{\partial \bar{T}} \left( \frac{\theta_i^{(0)}}{\sigma} \right) \Big|_{\bar{T}_0} \frac{f}{f_0}, \quad W \Big|_1 = 0, \quad W \Big|_{\bar{T}_0} = - \frac{\chi_e}{\chi_i} \frac{\partial}{\partial \bar{T}} \left( \frac{\theta_e^{(0)}}{\sigma} \right) \Big|_{\bar{T}_0} \frac{f}{f_0}.$$

Здесь  $Pe = \bar{v}_0 h_0 / \chi_i$  - число Пекле,  $\zeta = \frac{x}{h_0} - Pe \cdot t$ . Возмущения нижней границы  $y = 0$  отсутствуют. "Гидродинамическая часть" задачи принимает вид

$$\frac{\partial^2 D}{\partial \zeta^2} + \frac{\partial^2 D}{\partial \bar{T}^2} = A,$$

$$\frac{1}{R_2} \frac{\partial A}{\partial t} + R (\bar{v}_x^{(0)} - 1) \frac{\partial A}{\partial \zeta} - R \frac{\partial^2 \bar{v}_x^{(0)}}{\partial \bar{T}^2} \frac{\partial A}{\partial \zeta} = \frac{\partial^2 A}{\partial \bar{T}^2} + \frac{\partial^2 A}{\partial \zeta^2},$$

$$\frac{\partial A}{\partial \zeta} \Big|_{\bar{T}=0} = 0, \quad \frac{\partial A}{\partial \bar{T}} \Big|_{\bar{T}=0} = 0, \quad \frac{\partial A}{\partial \zeta} \Big|_{\bar{T}=\bar{T}_0} = 0, \quad \frac{\partial A}{\partial \bar{T}} \Big|_{\bar{T}=\bar{T}_0} = \frac{\partial \bar{v}_x^{(0)}}{\partial \bar{T}} \Big|_{\bar{T}_0} \cdot \frac{f}{f_0},$$

которая существенно упрощается в приближении малых чисел Рейнольдса  $R = \rho \bar{v}_0 h_0 / \eta$  и больших значений чисел Прандтля  $R_2 = \eta / \rho \chi_i$ .

$$A = \frac{\partial^2 D}{\partial \zeta^2} + \frac{\partial^2 D}{\partial \bar{T}^2},$$

$$\frac{\partial^2 A}{\partial \bar{T}^2} + \frac{\partial^2 A}{\partial \zeta^2} = 0,$$

$$\frac{\partial D}{\partial \zeta} \Big|_0 = \frac{\partial D}{\partial \bar{T}} \Big|_0 = \frac{\partial D}{\partial \zeta} \Big|_{\bar{T}_0}, \quad \frac{\partial D}{\partial \bar{T}} \Big|_{\bar{T}_0} = \frac{\partial D^{(0)}}{\partial \bar{T}} \Big|_{\bar{T}_0} \cdot \frac{f}{\bar{T}_0}. \quad (15)$$

Рассматривая эволюцию бегущих волн возмущений

$$f, A, D, Q, W \rightarrow \exp(i k \zeta + G \tau) \Big|_{\bar{T}_0}, A, D, Q, W,$$

приходим к уравнениям, определяющим "ξ-координатные" части функций

$$A(\bar{T}, \zeta, \tau), D(\bar{T}, \zeta, \tau), Q(\bar{T}, \zeta, \tau), W(\bar{T}, \zeta, \tau), f(\zeta, \tau),$$

в дальнейшем для которых сохранены обозначения. В "гидродинамической части" задачи удобно исключить амплитуду  $A$  и получить обыкновенное линейное однородное дифференциальное уравнение

$$\frac{\partial^4 D}{\partial \bar{T}^4} - 2\kappa^2 \frac{\partial^2 D}{\partial \bar{T}^2} + \kappa^4 D = 0,$$

$$D \Big|_0 = \partial_{\bar{T}} D \Big|_0 = D \Big|_{\bar{T}_0} = 0, \quad \partial_{\bar{T}} D \Big|_{\bar{T}_0} = \frac{\partial D^{(0)}}{\partial \bar{T}} \Big|_{\bar{T}_0}, \quad (16)$$

решение которого имеет вид

$$D = (C_1 + C_2 \cdot \bar{T}) e^{\kappa \bar{T}} + (C_3 + C_4 \cdot \bar{T}) e^{-\kappa \bar{T}}.$$

Постоянные  $C_1, C_2, C_3, C_4$  интегрирования определяются граничными условиями из (16)

$$C_2 = \left( \bar{T} / \bar{T}_0 + \frac{\kappa \bar{T}_0}{2} \right) \cdot \left[ -(1+C) c h \kappa \bar{T}_0 + e^{\kappa \bar{T}_0} (1 + \kappa \bar{T}_0) + c (1 - \kappa \bar{T}_0) e^{-\kappa \bar{T}_0} \right]^{-1},$$

$$C = \left( -s h \kappa \bar{T}_0 + \kappa \bar{T}_0 e^{\kappa \bar{T}_0} \right) \left( s h \kappa \bar{T}_0 - \kappa \bar{T}_0 e^{-\kappa \bar{T}_0} \right)^{-1}, \quad (17)$$

$$C_1 = -\frac{(1+C)}{2\kappa} \cdot C_2, \quad C_3 = \frac{(1+C)}{2\kappa} \cdot C_2, \quad C_4 = C \cdot C_2.$$

"Тепловая часть" задачи, описывающая эволюцию гармоник  $K$ , сводится к решению двух независимых обыкновенных дифференциальных уравнений

$$\frac{\partial^2 Q}{\partial \bar{T}^2} - [K^2 + G + i\kappa P_e (\partial^{(n)} - 1)] Q = \tilde{q}(\bar{T}) = i\kappa P_e \frac{\partial}{\partial \bar{T}} \left( \frac{\Theta_i^{(n)}}{\sigma} \right) \partial + 2 \frac{\partial \Theta_i^{(n)}}{\partial \bar{T}} (\partial_{\bar{T}} \partial + K^2 \partial), \quad (18)$$

$$\frac{\partial^2 W}{\partial \bar{T}^2} - \left( K^2 + \frac{\chi_i}{\chi_e} G \right) W = 0, \quad (19)$$

$$W(1) = 0, \quad W/\bar{T}_0 = \frac{Q_*}{1 - \bar{T}_0}, \quad \frac{\partial Q}{\partial \bar{T}} \Big|_0 = 0, \quad Q \Big|_{\bar{T}_0} = -\frac{\partial}{\partial \bar{T}} \left[ \frac{\Theta_i^{(n)}}{\sigma} \right] \bar{T}_0,$$

которые замыкаются условием теплового баланса

$$-\frac{\partial Q}{\partial \bar{T}} \Big|_{\bar{T}_0} + \frac{\partial W}{\partial \bar{T}} \Big|_{\bar{T}_0} = \frac{G}{\sigma} - \left( \frac{1}{\bar{T}_0} + \frac{\partial \bar{T}_0}{2} \right)^2 \quad (20)$$

Решение уравнения (18) представляет значительную трудность. Формально решение соответствующего однородного уравнения можно выразить через функцию Куммера  $\Phi_K(a, c, \rho)$  (см., например /3 /), а решение неоднородного уравнения строить, варьируя постоянные, и ответ представить в квадратурах с последующим численным анализом. Однако до настоящего времени не существует численного удовлетворительного алгоритма вычисления функции Куммера  $\Phi_K$  на всей комплексной плоскости. Особые трудности вызывает случай  $a$ ,  $\rho \rightarrow \infty$  при  $a/\rho \sim 1$ , возникающий в данной работе при  $P_e \gg 1$ . В изучаемом приложении область значений  $P_e \gg 1$  представляет определяющий интерес. Для указанных значений отношения  $a/\rho$  отсутствует аналитическое выражение асимптотического разложения функции Куммера /3/. В настоящей работе предлагается следующий подход. Опустим из рассмотрения область малых значений модуля  $|K^2 + G|$ . Может случиться, что мы не в состоянии построить нейтральные кривые, знание которых имеет принципиальное значение при исследовании условий устойчивости фронта  $y = h(t)$ . Однако нас интересует характер пространственной неустойчивости границы раздела сред. Именно он определяет особенности двумерного развития процесса: характерный размер неустойчивости и время. При этом появляется возможность указать достаточные условия неустойчивости, которые с необходимостью отражают эволюцию исследуемой системы. В свете сказанного, условия устойчивости особого значения не имеют. В этом случае представляется возможным

развить приближение Лиувилля-Грина [6], считая малым параметр  $\varepsilon = (\kappa^2 + G)^{-1}$ .

Фундаментальная система решений однородного уравнения, соответствующего уравнению (18) с точностью до квадратичных членов по малому параметру  $\varepsilon$  представима в виде

$$Q_1(\tau) = sh \phi,$$

$$Q_2(\tau) = ch \phi,$$

где  $\phi = \phi(\tau) = \tau/\varepsilon + \frac{i\kappa R_0}{2} \tau \left( \frac{\tau}{2\tau_0} + \frac{d\tau}{6} - \frac{d}{4} \tau \tau_0 - 1 \right)$ . Вариация постоянных в общем решении однородного уравнения приводит к решению уравнения (18)

$$Q(\tau) = \frac{Q_2(\tau)}{Q_2(\tau_0)} \left[ Q/\tau_0 - Q_2(\tau_0) \int_0^{\tau_0} \frac{\tilde{q}(\tau) Q_2}{\phi'(\tau)} d\tau + Q_2(\tau_0) \int_0^{\tau_0} \frac{\tilde{q}(\tau) Q_1(\tau)}{\phi'(\tau)} d\tau \right] + Q_2(\tau) \int_0^{\tau} \frac{\tilde{q}(\tau) Q_2(\tau)}{\phi'(\tau)} d\tau - Q_2(\tau) \int_0^{\tau} \frac{\tilde{q}(\tau) Q_1(\tau)}{\phi'(\tau)} d\tau,$$

удовлетворяющему заданным граничным условиям. Вычисляя производную

$$\frac{\partial Q}{\partial \tau} / \tau_0 = \frac{Q_2'(\tau_0)}{Q_2(\tau_0)} Q/\tau_0 + \frac{\phi'(\tau_0)}{Q_2(\tau_0)} \int_0^{\tau_0} \frac{\tilde{q}(\tau) Q_2(\tau)}{\phi'(\tau)} d\tau$$

решая простое дифференциальное уравнение (19),

$$W(\tau) = \frac{Q_2}{1-\tau_0} \cdot sh \left[ \sqrt{\kappa^2 + \frac{\chi_i}{\chi_e} G} (1-\tau) \right] \cdot sh^{-1} \left[ \sqrt{\kappa^2 + \frac{\chi_i}{\chi_e} G} (1-\tau_0) \right],$$

используя условие (20), приходим к сложному трансцендентному уравнению, которое определяет инкремент неустойчивости  $G = (Re G, Im G)$

$$th \phi(\tau_0) \cdot \phi'(\tau_0) \left[ \rho_0 + \frac{\tau_0}{3} \cdot \left( \frac{3}{\tau_0^2} + \frac{d^2 \tau_0^2}{4} \right) \right] + \frac{G}{6} - \left( \frac{1}{\tau_0} + \frac{d \tau_0}{2} \right)^2 + \frac{\phi'(\tau_0)}{ch \phi(\tau_0)} \int_0^{\tau_0} \frac{\tilde{q}(\tau) ch \phi(\tau)}{\phi'(\tau)} d\tau + \frac{Q_2}{1-\tau_0} \sqrt{\kappa^2 + \frac{\chi_i}{\chi_e} G} ch \left[ \sqrt{\kappa^2 + \frac{\chi_i}{\chi_e} G} (1-\tau_0) \right] = 0. \quad (21)$$

При численном анализе полученного уравнения чрезвычайно эффективным оказался итерационный метод поиска комплексных корней трансцендентных уравнений — метод Моллера. Результаты численного анализа приведём для характерных значений  $h_{cr} \sim 10^5$  м,  $\nu_0^2 \sim 3 \cdot 10^{-9}$

м/с,  $\chi_i = 10^{-6} \text{ м}^2/\text{с}$ ,  $\chi_i/\chi_e = 10^{-1}$ . Принятые численные значения характеризуют астеноферу и указывают на область значений гидродинамических чисел, представляющих особый интерес:  $Pe = 50-500$ ,  $\sigma = 0,01-30$ ,  $\bar{F}_0 = 0,1-1$ .

В области указанных значений чисел  $Pe$ ,  $Pe$ ,  $R$ ,  $\sigma$  исследуемая система обладает свойством пространственной неустойчивости фронта, разделяющего среды. Процесс необратимой передачи импульса от литосферы к астенофере носит существенно двумерный характер. Принятый подход позволяет выявить основные свойства двумерного протекания процесса — характерное время выхода на экспоненциальную по времени асимптотику, характерный размер локализованных очагов частичного плавления и их размещение в пространстве. Численно обнаружена ветвь дисперсионной кривой с  $Re G(k) > 0$ . На рис. 4 представлен график зависимости инкремента неустойчивости как функции волнового вектора  $k$  для ряда значений числа Пекле. Зависимость  $Re G(k)$  имеет максимальное значение  $G_{pe}^*$  при  $k = k_{*}$ . Таким образом, существует мода  $k = k_{*}$ ,

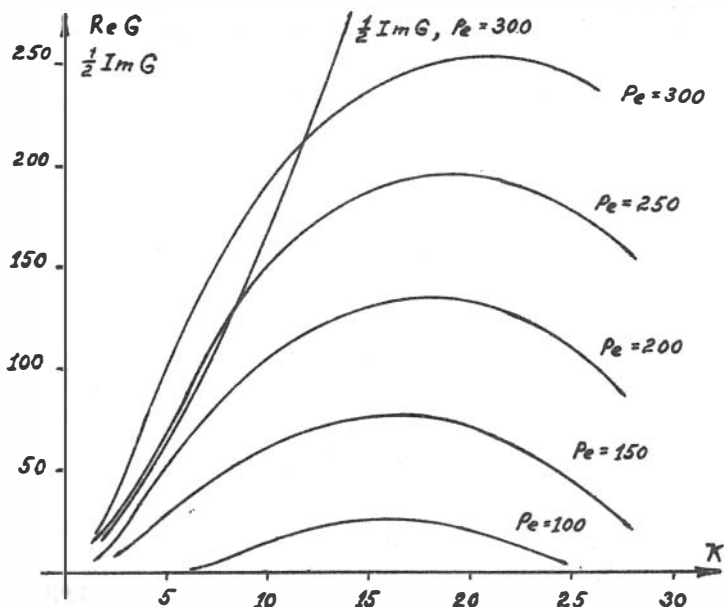


Рис. 4. Приведён случай  $\sigma = 4$ ,  $\alpha_k = 2$ ,  $\chi_i/\chi_e = 0,1$ ,  $\alpha = -1$

имеющая минимальное время выхода на экспоненциальную асимптотику. Можно полагать, что на нелинейной стадии развития процесса определяющую роль будут играть гармоники, находящиеся в достаточно узком интервале  $\Delta K$  в окрестности точки  $K = K_*$ . Отмеченное обстоятельство позволяет выделить размер  $\Lambda = \pi k_*/K_*$  и связать его с размером области локализации частичного расплава. При этом локализованные очаги в пространстве будут отстоять друг от друга на расстоянии  $2\Lambda$ . Локализованный очаг частичного расплава может служить прообразом магматической камеры. Перемещающаяся с постоянной скоростью литосфера приводит к диссипации передающего астеносфере импульса уже в локализованных очагах. Здесь можно ожидать последующий рост температуры и давления. Оценим характерный размер  $\Lambda$  и характерное время выхода  $t_* = t_x / G_{pe}^*$  на экспоненциальную асимптотику для моды  $K_*$ . Пусть  $k_* \sim 10^5 \text{ м}^{-1}$ ,  $v_0 \sim 2 \cdot 10^{-9} \text{ м/с}$ ,  $\chi_i \sim 10^{-6} \text{ м}^2/\text{с}$ ,  $\eta \sim 10^{20} \text{ П}$ , так что  $\rho_e \sim 200$ ,  $\beta_2 \sim 3 \cdot 10^{21}$ . Если принять  $q \sim 13 \cdot 10^5 \text{ Дж/кг}$  (что соответствует присутствию в частичном расплаве процентному соотношению

3-5% полностью расплавленной магмы), то  $\sigma = 4$ . Из рис.4 имеем значения  $K_* = 18$ ,  $G_{pe}^* = 140$ , позволяющие оценить время  $t_*$  и размер  $\Lambda$

$$t_* = \frac{k_*^2}{\chi_i \cdot 140} \sim \frac{10^{10}}{10^{-2} \cdot 140} \sim 7.1 \cdot 10^8 \text{ с} \sim 2 \text{ млн. лет},$$

$$\Lambda = \frac{\pi k_*}{K_*} \sim 17 \text{ км}.$$

В использованных оценках полагалось значение плотности  $\rho = 3,3 \cdot 10^3 \text{ кг/м}^3$ . Сокращение времени развития неустойчивости происходит с ростом числа Пекле. С увеличением  $\rho_e$  инкремент  $G_{pe}(K)$  "выходит" на линейную асимптотику (см. рис.4). Скорость движения выделенного объема можно оценить по обычной формуле  $dx/dt = v_0 \cdot \chi_i \cdot \sigma \cdot G_{pe}(K_*) \cdot (k_* \cdot K_*)^{-1}$ . Для приведенных выше числовых значений:  $dx/dt \sim 1,75 \cdot 10^{-9} \text{ м/с}$ , что соответствует "медленному дрейфу гармоники  $K_*$ " в направлении противоположном невозмущенному потоку (в системе координат неподвижной литосферы). На рис.5 представлена зависимость  $G_{pe}(K)$  для ряда значений отношения  $\alpha = k_*^2 \frac{\partial \rho}{\partial x} / \eta v_0$ : скорости, характеризующей течения Пуазейля и скорости движений литосферы  $v_0$ . При фиксированной скорости движения литосферы с увеличением  $\alpha$  значение  $G_{pe}(K)$  уменьшается, принимая максимальное значение при  $\alpha = 0$ . Мнимая часть инк-



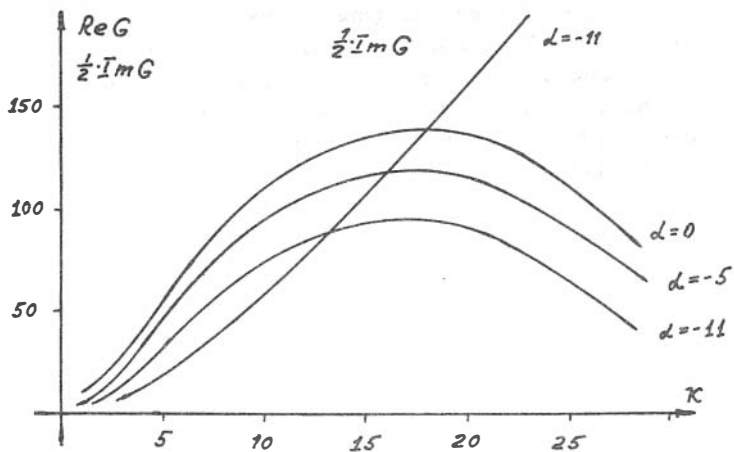


Рис.5. Зависимости для значений:  
 $\sigma = 4$ ,  $Q_* = 2$ ,  $Pe = 200$ ,  $\kappa_i/\kappa_e = 0,1$

реumenta с уменьшением длины волны возмущения выходит на линейную асимптотику по  $\kappa$ . На рис. 6 иллюстрируется зависимость

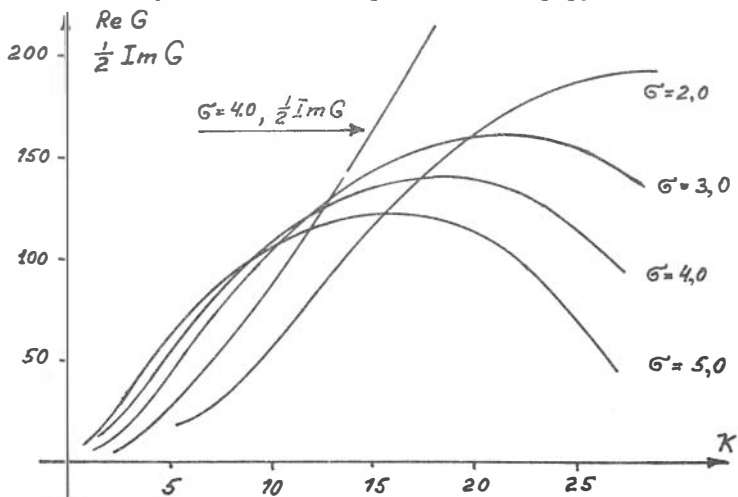


Рис.6. Зависимости для значений:  
 $\alpha = 0$ ,  $Q_* = 2$ ,  $Pe = 200$ ,  $\kappa_i/\kappa_e = 0,1$

инкремента  $G_{\sigma}(K)$  как функцию волнового вектора для четырёх значений величины  $\sigma$ . Увеличение скорости ввода энергии в систему приводит к увеличению длины волны  $\lambda_{*}$ , соответствующей моде  $K_{*}$ , что, естественным образом, приводит к уменьшению инкремента.

Таким образом, предложенный подход позволяет объяснить формирование первичных очагов магматических камер, используя современные геодинамические представления. Пространственная периодичность очагов в динамической теории, чувствительность величин  $\lambda_{*}$ ,  $K_{*}$  от физических переменных  $\rho_e$ ,  $Q$ ,  $\alpha$ ,  $\sigma$  позволяет с новой точки зрения взглянуть на необходимость введения представления о "горячих точках".

#### Литература

1. Алексеев А.С., Ваньян Л.Л., Бердичевский М.Н. и др. Схема астеносферных зон Советского Союза. - ДАН СССР, 1977, т.234, №4, с.980-983.
2. Делегодина Л.А., Доровский В.Н. Зоны, очаги частичного плавления-прообразы магматических камер. Новосибирск, 1986.-21с. (Препринт № I ИГиГ СО АН СССР).
3. Бейтман Г., Эрдейн А. Высшие трансцендентные функции. Т.1,2. М.: Наука, 1973. - 296 с.
4. Доровский В.Н. Об одном механизме образования расплава. Новосибирск, 1984. - 16 с. (Препринт № 6 ИГиГ СО АН СССР).
5. Йодер Х. Образование базальтовой магмы. М.: Мир, 1976. - 239 с.
6. Найфа А.Х. Методы возмущений. М.: Мир, 1976. - 455 с.
7. Седов Л.И. Механика сплошной среды. Т.1. М.: Наука, 1983.- 528 с.
8. Теркот Д., Шуберт Дж. Геодинамика. Т.1-2. М.: Мир, 1985. - 375 с.
9. Griggs D., Handin J., Observation on fracture and a hypothesis of earthquakes.- In: D. Griggs, J. Handin. (eds.) Rock deformation.- Geol. Soc. Am. Mem., 1966, v.79, p.347-364.
10. Toksoz M.N., Minner J.W., Julian B.R., Temperature field and geophysical effects of a downgoing slab.- J. Geophys. Res., 1971, v.76, p.1113-1138.

Технический редактор Н.Н. Александрова

---

Подписано к печати 23.06.86. МН 12179.  
Бумага 60×84/16. Печ.л. 1,0. Уч.-изд.л. 0,95.  
Тираж 200. Заказ 232. Бесплатно.

---

Институт геологии и геофизики СО АН СССР  
Новосибирск, 90. Ротапринт.